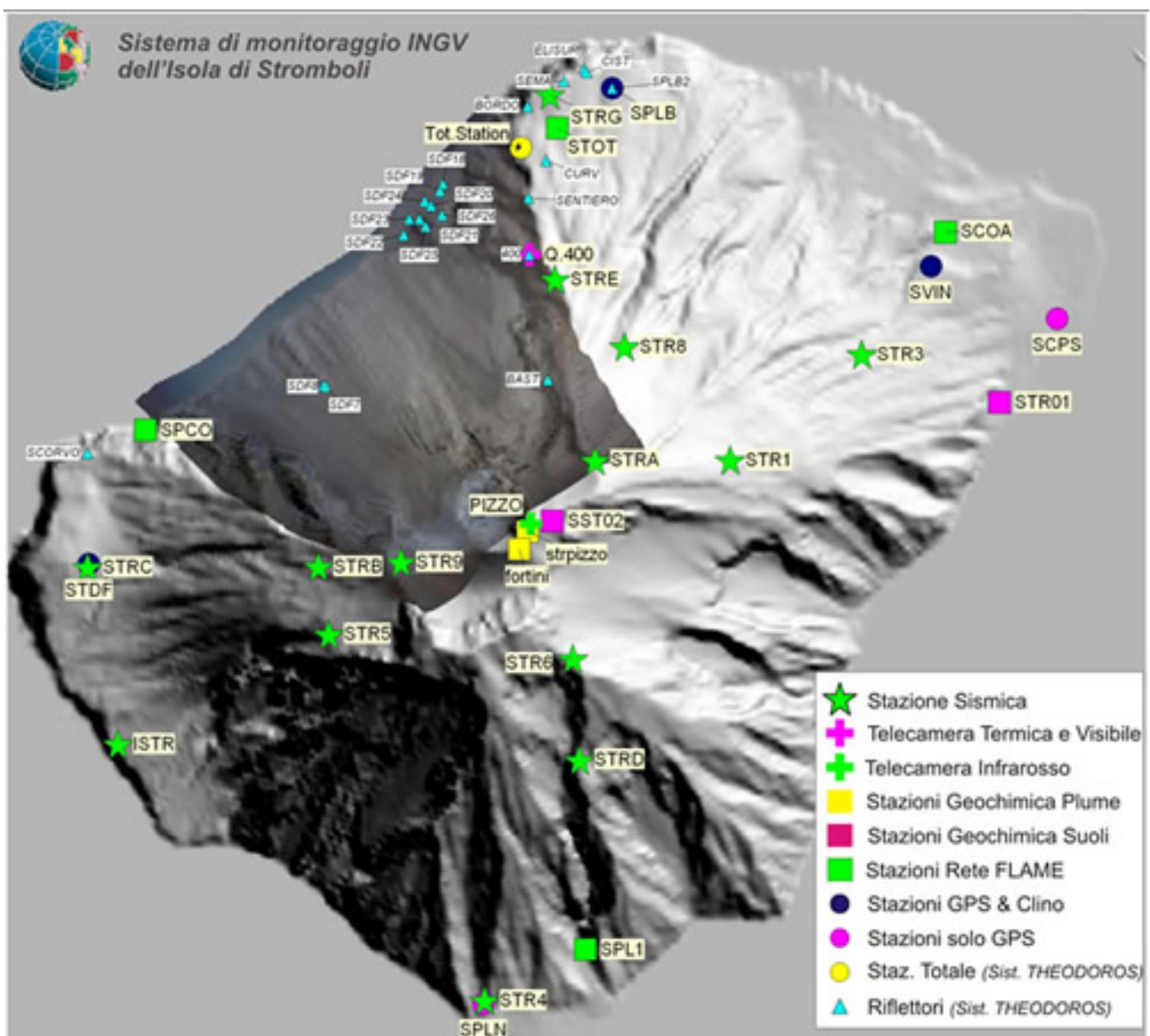




Istituto Nazionale di Geofisica e Vulcanologia

Rep. N° 50/2013

Bollettino settimanale sul monitoraggio vulcanico, geochimico, delle deformazioni del suolo e sismico del vulcano Stromboli del 10/12/2013



Stato di funzionamento delle reti

Rete di monitoraggio	Numero di Stazioni	Numero di stazioni non funzionanti	Note
Deformazioni (clinometrica)	3	1	La stazione del COA è stata dismessa il 12/03/2013, perchè il foro si è dimostrato non idoneo per misure clinometriche di precisione.
Deformazioni (GPS)	5	1	La stazione SCPS non è funzionante. Per problemi ai sistemi informatici al COA, dal giugno 2013 non sono disponibili i dati.
Deformazioni (THEODOROS)	1 + 20 riflettori	6 riflettori	Il sistema non visualizza i dati dal 30 settembre. Da fine novembre 2012 il computer di controllo e gestione del sistema è guasto.
Sismologia	13	5	---
Rapporto CO2/SO2 nel plume	2	-	
Flussi SO2 Rete-FLAMES	4	-	
Flusso CO2 dal suolo	1	-	
Telecamera visibile	2		
Telecamera termica	3	1	Vancori non funzionante per problemi di trasmissione dati

Sezione 1 - Vulcanologia

L'analisi delle immagini registrate dalle telecamere poste sul Pizzo sopra la Fossa e a quota 400 ha consentito di caratterizzare l'attività eruttiva dello Stromboli. Il 3 dicembre, a causa delle avverse condizioni meteorologiche, la visibilità della terrazza craterica è stata insufficiente per una corretta descrizione dell'attività esplosiva.

Nel periodo esaminato l'attività esplosiva è stata prodotta, in prevalenza, da 1 (una) bocca eruttiva localizzata nell'area craterica Nord e da 4 (quattro) bocche eruttive localizzate nell'area craterica Sud. Tutte le bocche sono poste all'interno della depressione che occupa la terrazza craterica (Fig. 1.1).

Il 4 dicembre alle ore 23:48 UTC è stata registrata una sequenza esplosiva di forte intensità prodotta dalle bocche localizzate nell'area craterica Sud.

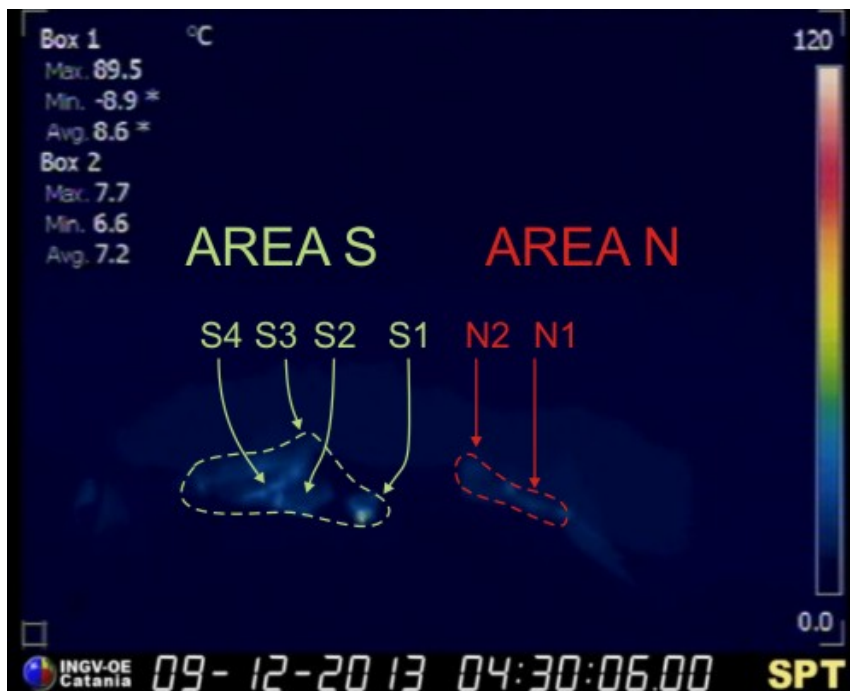


Fig. 1.1 La terrazza craterica vista dalla telecamera termica posta sul Pizzo sopra la Fossa. Le due aree in tratteggio indicano i limiti degli attuali settori in cui è divisa la terrazza craterica (AREA N, AREA S). Le sigle e le frecce indicano i nomi e le ubicazioni delle bocche attive.

La bocca N1, situata nell'area craterica Nord, ha prodotto esplosioni d'intensità medio-bassa (meno di 120 m di altezza) con emissione di materiale fine (cenere) frammisto a grossolano (lapilli e bombe). La bocca N2 non ha mostrato attività esplosiva. La frequenza media delle esplosioni dell'area N è stata variabile da meno di 1 a 3 eventi/h.

La bocca S1, situata nell'area craterica Sud, ha mostrato una debole incandescenza. La bocca S3, posta sul cono prospiciente la Sciara del Fuoco, ha mostrato esplosioni di materiale grossolano, di bassa intensità. Le bocche S2 e S4 hanno prodotto, a volte simultaneamente, esplosioni d'intensità bassa (meno di 80 m di altezza) con emissione in prevalenza di materiale fine talvolta frammisto a grossolano. La frequenza delle esplosioni dall'area S è oscillata tra 4 e 7 eventi/h.

Il 4 dicembre dalle ore 23:48:58 UTC ha avuto inizio, nell'area craterica Sud, una successione di esplosioni di forte intensità (Fig. 1.2 a). La sequenza ha mostrato due fasi distinte riprese dalle telecamere di sorveglianza in condizioni di visibilità limitate da una spessa copertura nuvolosa. Nella prima fase, l'esplosione iniziale più intensa, della durata di circa 30 s, ha coinvolto le bocche S2 e S4, l'altezza dei prodotti ha raggiunto circa 200 m di altezza mentre il pennacchio di cenere e lapilli ha superato l'inquadratura della camera (oltre 250 m di altezza sopra la terrazza craterica). La ricaduta delle bombe ha interessato principalmente la parte meridionale della terrazza craterica senza raggiungere il Pizzo, mentre i materiali più fini sono stati spinti dai venti verso SO ricadendo sul versante della Sciara del Fuoco (Fig. 1.2 b).

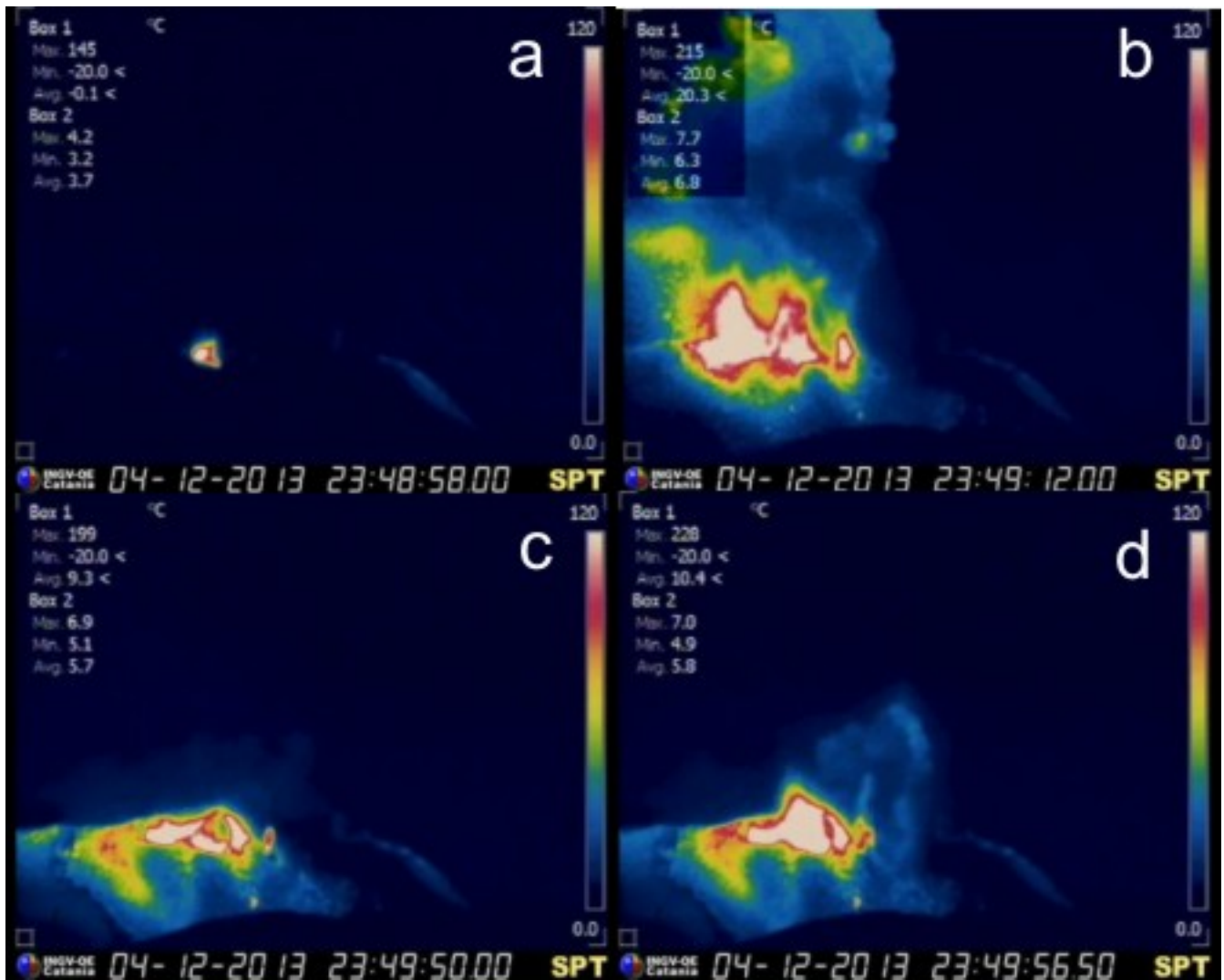


Fig. 1.2 Alcuni fotogrammi significativi della sequenza esplosiva del 4 dicembre ripresi dalla telecamera termica di sorveglianza situata sul Pizzo sopra la Fossa.

La seconda fase ha avuto inizio alle ore 23:49:50 UTC, dalla bocca S1 (Fig. 1.2 c) dove sono state prodotte alcune esplosioni di media intensità seguite dopo pochi secondi da un fontanamento di lava alto 30-50 m dalle bocche S2 e S4 (Fig 1.2 d). Poco dopo le 23:51 UTC la sequenza esplosiva ha avuto termine lasciando nelle bocche S2 e S4 una attività di spattering discontinuamente visibile a causa di una persistente nuvolosità.

Nel grafico sottostante (Fig. 1.3) è visualizzata la frequenza oraria media giornaliera degli eventi esplosivi ripresi dalle telecamere di sorveglianza dal 25 luglio 2013 quando è stato ripristinato il funzionamento delle telecamere poste sul Pizzo sopra la Fossa. La depressione craterica è stata suddivisa in aree sede di bocche eruttive attive (vedi Fig. 1.1), pertanto le bocche poste nella porzione settentrionale costituiscono l'area N, e le bocche poste nella porzione meridionale costituiscono l'area S. Il valore Totale è la somma della frequenza oraria media giornaliera di tutti gli eventi esplosivi prodotti dalle bocche attive.

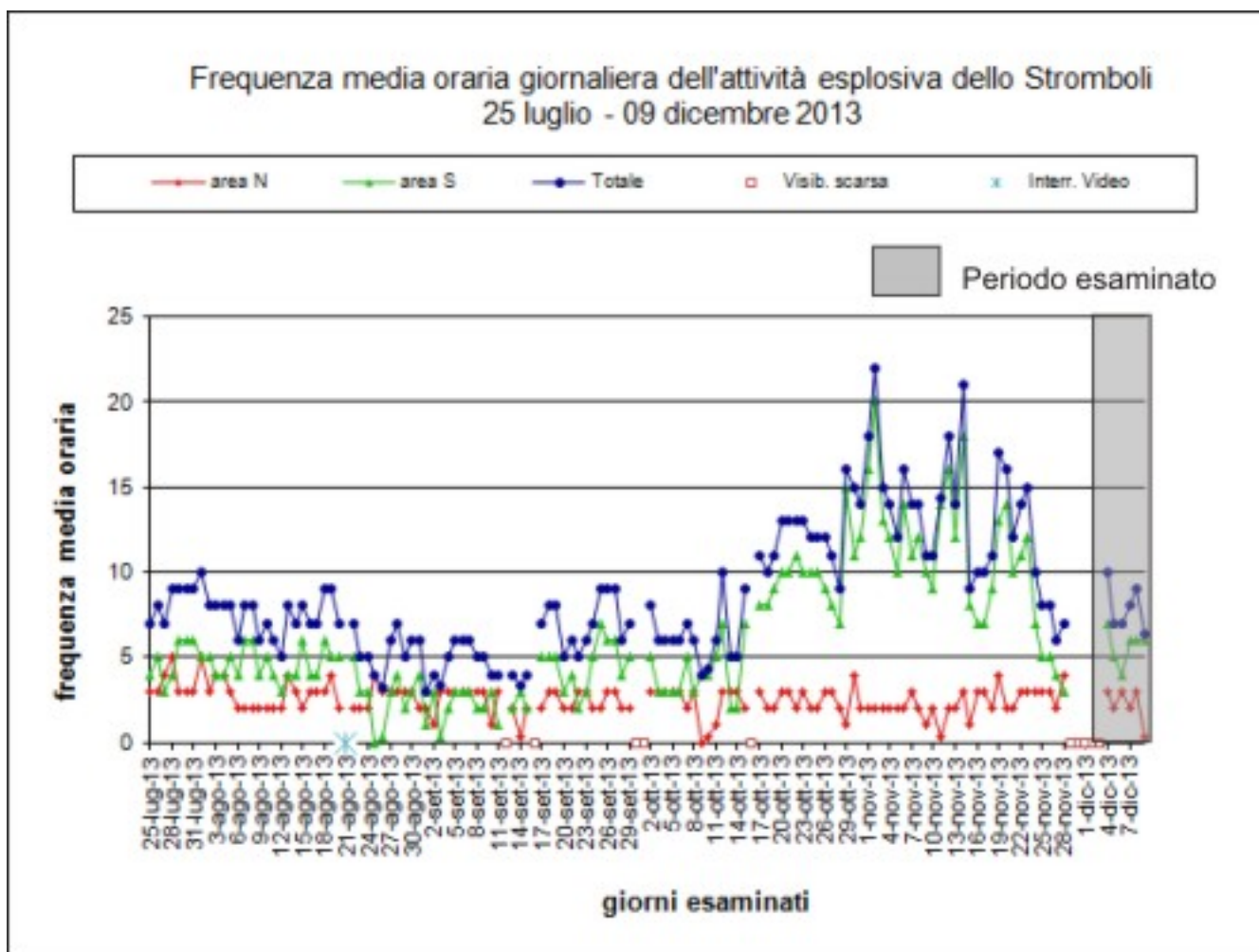


Fig. 1.3 Andamento della frequenza oraria media giornaliera degli eventi esplosivi dal 25 luglio 2013, in grigio il periodo esaminato.

Sezione 2 - Geochimica

Flusso di CO₂ dai suoli - Il valore medio settimanale del flusso di CO₂ dai suoli, misurato dalla stazione STR02 posta al Pizzo sopra La Fossa, è di circa 10000 g m⁻² d⁻¹, in linea con le misure della precedente settimana.

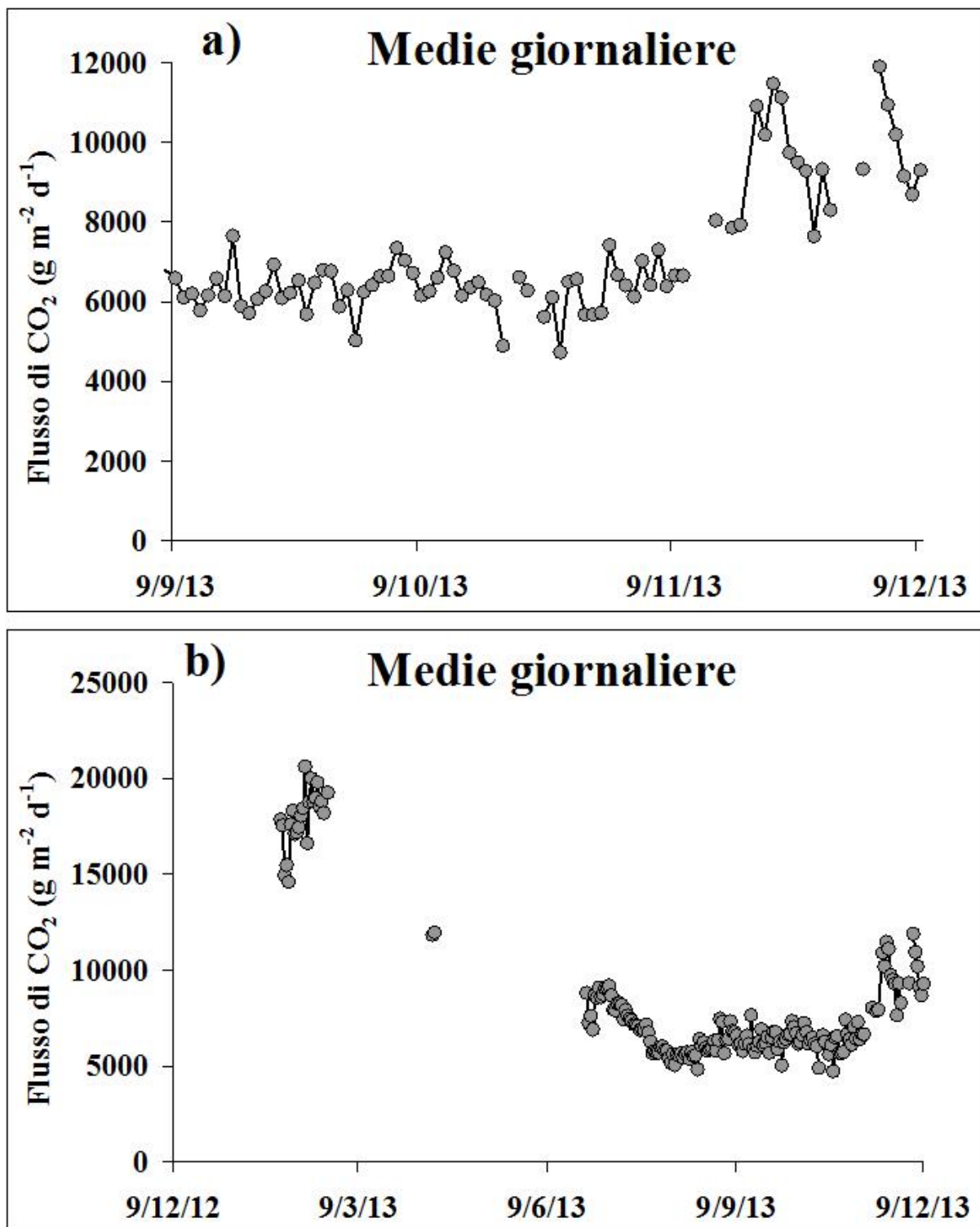


Fig. 2.1 Andamento temporale del flusso di CO₂ dai suoli: a) ultimi tre mesi; b) ultimo anno

Chimica del plume - Il valore medio settimanale del rapporto CO₂/SO₂ misurato dalle stazioni di monitoraggio Pizzo e Fortini è pari a 4.7. A causa delle avverse condizioni meteo, i dati sono stati acquisiti con minore frequenza.

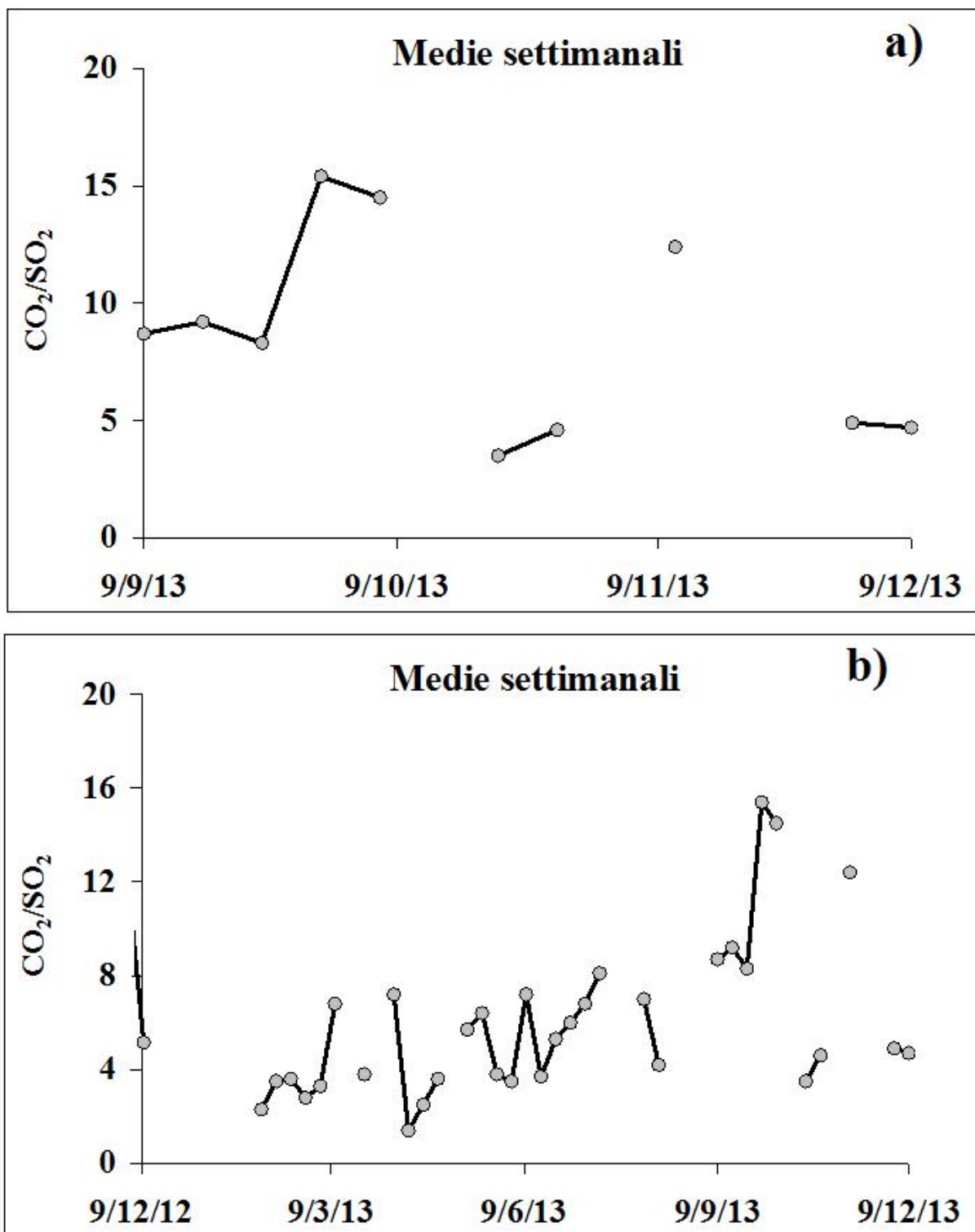


Fig. 2.2 Andamento temporale del rapporto CO₂/SO₂ nel plume: ultimi tre mesi (a), ultimo anno (b).

Flussi di SO₂ - Il valore medio settimanale del flusso di SO₂ emesso dal plume, misurato dalla rete FLAME, è di circa 75 t/g, in lieve diminuzione rispetto alle misure delle precedenti settimane. A causa delle avverse condizioni meteo, i dati sono stati acquisiti con minore frequenza.

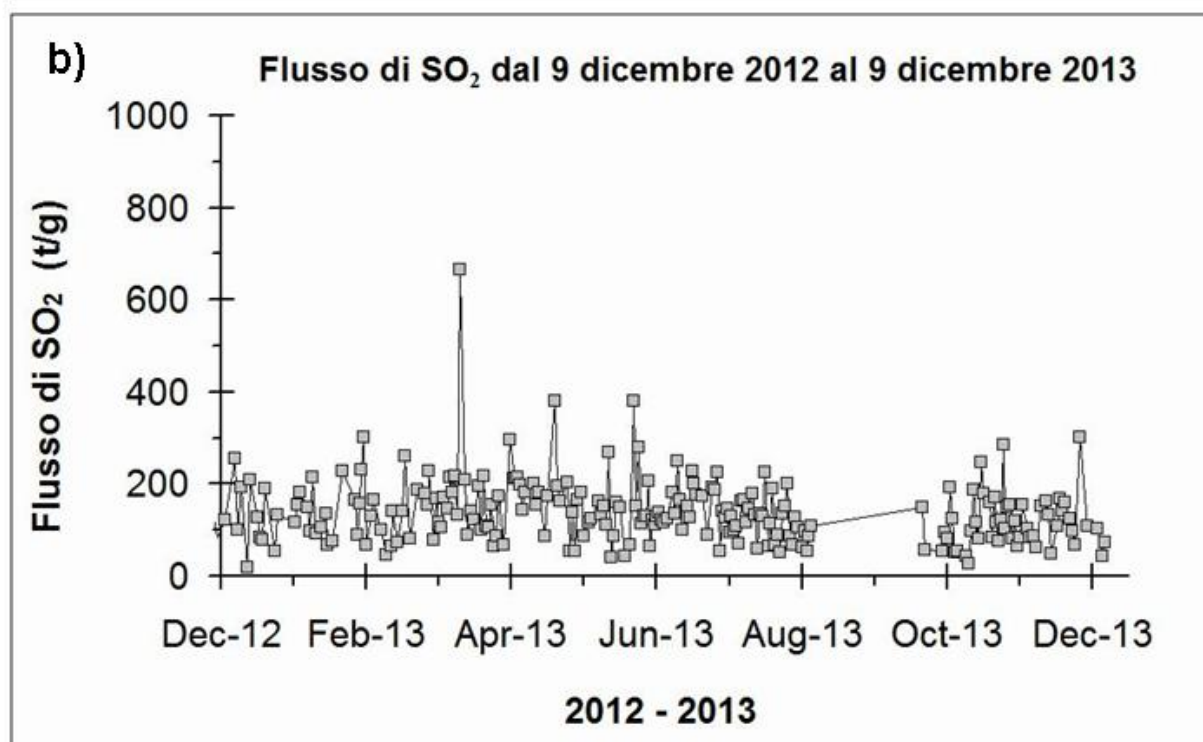
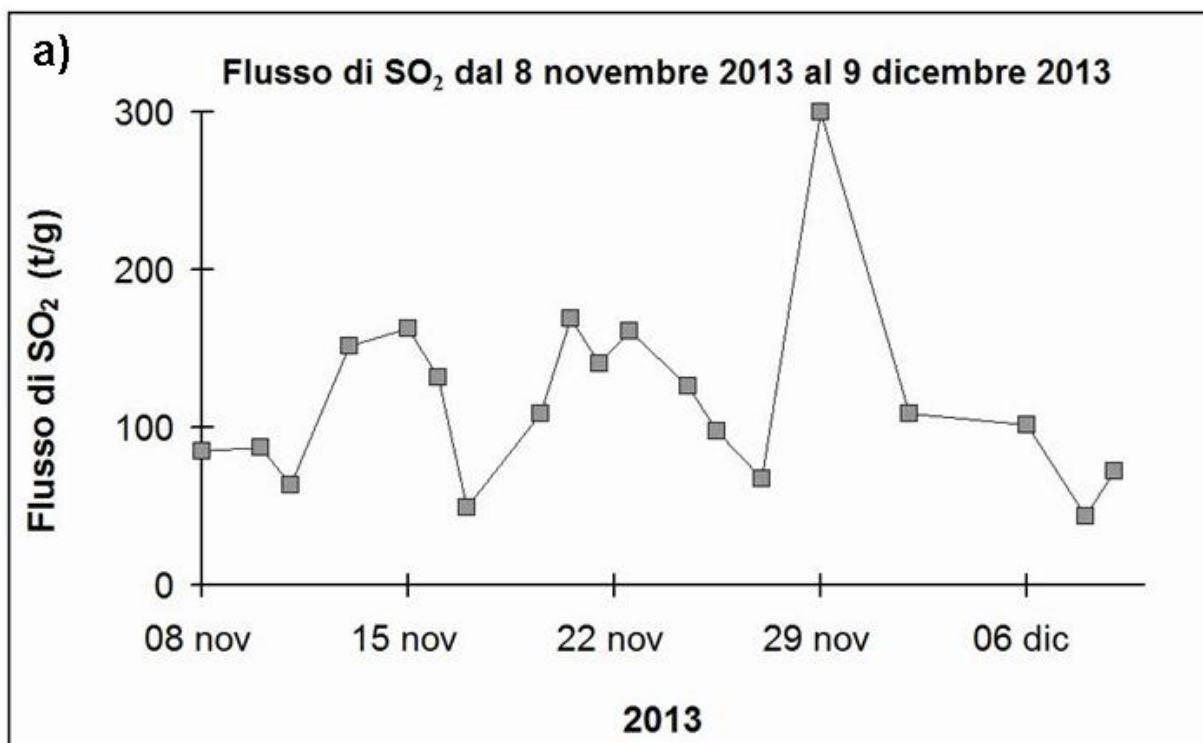


Fig. 2.3 Andamento temporale del flusso di SO₂: a) ultimo mese; b) ultimo anno

Sezione 3 - Deformazioni del suolo

Rete clinometrica.

Le stazioni di Labronzo e Timpone del Fuoco acquisiscono con frequenza di un dato al minuto lungo due componenti tra loro ortogonali.

Per un guasto ai sistemi informatici di trasmissione, i dati di Punta Labronzo non sono disponibili alla data odierna.

L'analisi preliminare dei segnali dell'ultima settimana della stazione di Timpone del Fuoco non ha evidenziato variazioni significative.

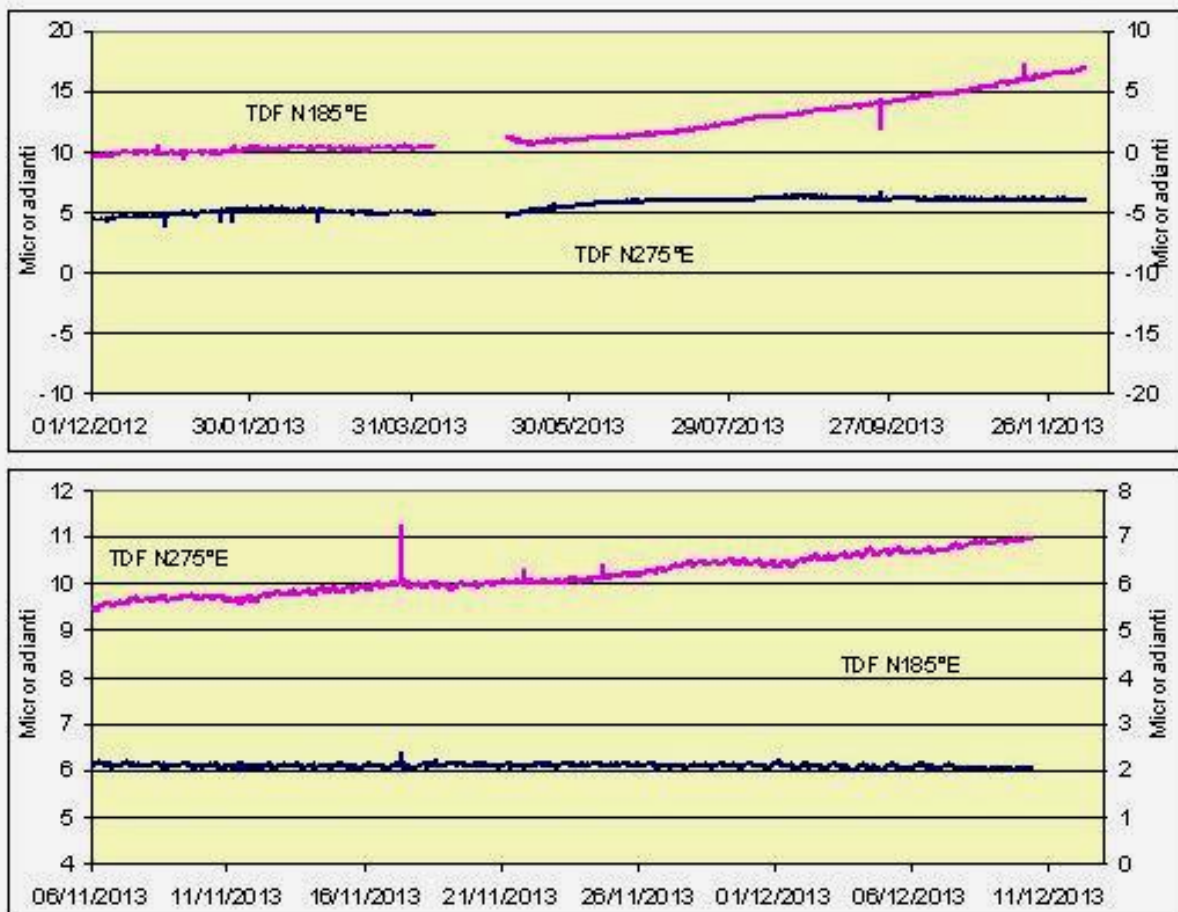


Fig. 3.1 Variazione dell'inclinazione del suolo alla stazione clinometrica di TDF. Sono riportate le componenti N185°E e N275°le di TDF nel lungo e nel breve periodo.

Misure GPS.

La rete GPS acquisisce dati a frequenza di 1 Hz su 4 delle 5 stazioni di misura. L'analisi delle serie fornite dall'elaborazione giornaliera dei dati delle stazioni della Rete GPS permanente. A causa del guasto ai sistemi informatici al COA, i dati della rete GPS degli ultimi mesi non sono disponibili.

Sistema THEODOROS

Utilizzando tecniche di geodesia terrestre, il sistema determina la posizione nelle tre componenti (Nord, Est e Quota) di 8 capisaldi installati dentro la Sciara del Fuoco, sulla colata dell'eruzione 2007 (parte distale della colata e delta lavico ai piedi della Sciara).

I guasti dell'HW del sistema di acquisizione e analisi negli scorsi mesi non sono stati ancora riparati.

Sezione 4 - Sismologia

Si segnala l'occorrenza alle 23:48 (GMT) del 04/12 di un evento esplosivo maggiore di ampiezza medio-alta, con componente VLP di ampiezza pari a circa il doppio della media giornaliera e durata di circa 2 min. L'evento è stato seguito da un aumento dell'ampiezza del tremore

vulcanico di circa 5 min.

Nell'ultima settimana sono stati registrati 5 segnali sismici associabili ad eventi franosi, di piccola entità, lungo la Sciara del Fuoco.

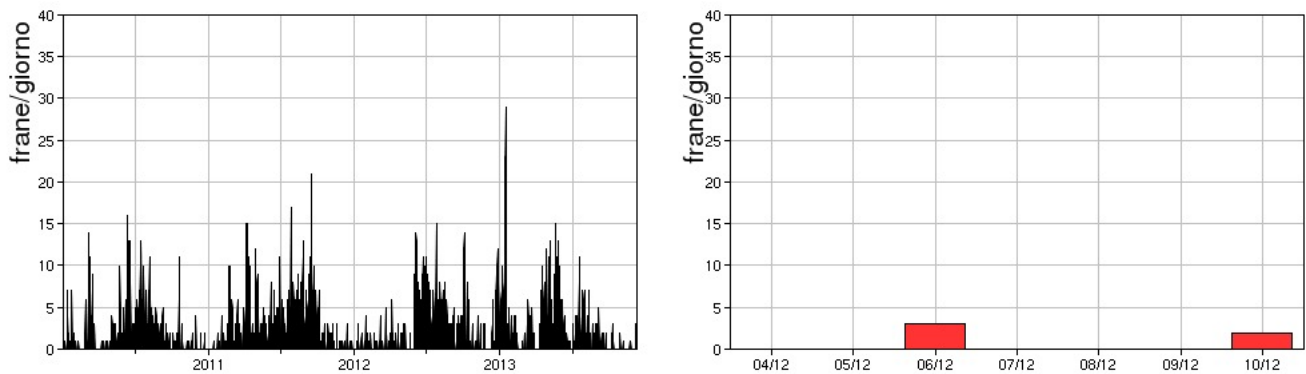


Fig. 4.1 Frequenza giornaliera dei segnali di frana dal 1/1/2010 (sinistra) e nell' ultima settimana (destra).

L'ampiezza del tremore vulcanico ha avuto valori compresi tra bassi e medio-bassi.

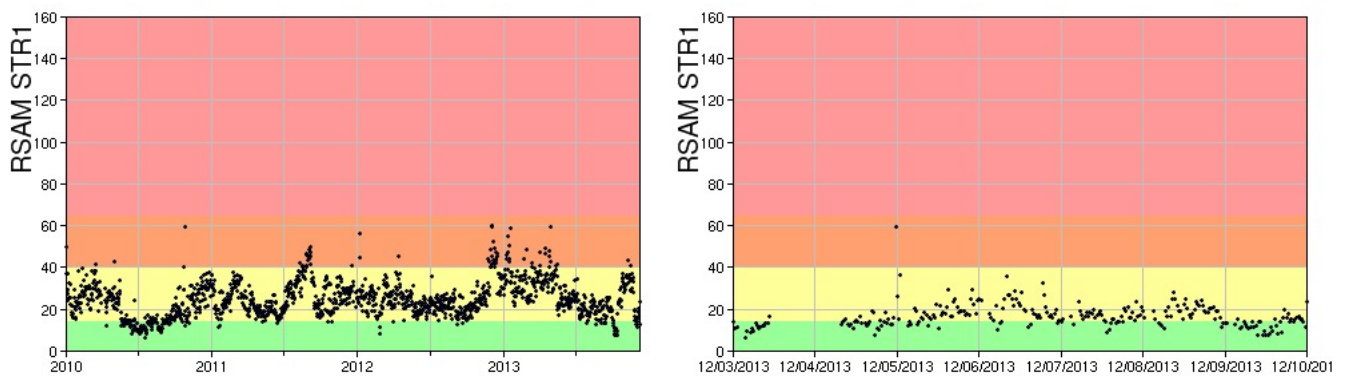


Fig. 4.2 Media giornaliera dell'ampiezza del tremore alla stazione STR1 dal 1/01/2010 (sinistra) ed ampiezza del tremore nell'ultima settimana (destra).

La frequenza di occorrenza dei VLP ha avuto valori compresi tra 6 e 11 eventi/ora.

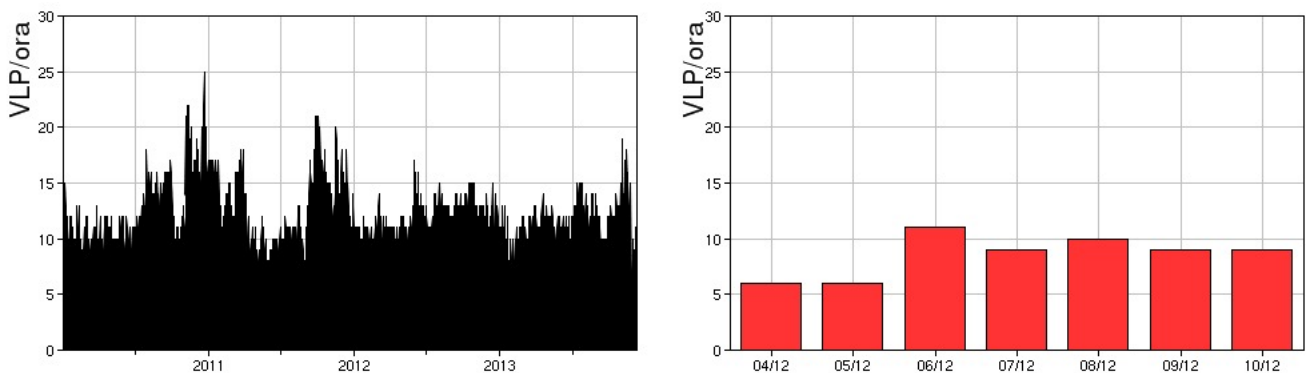


Fig. 4.3 Frequenza di accadimento degli eventi VLP dal 1/1/2010 (sinistra) e nell'ultima settimana (destra).

Nell'ultima settimana l'ampiezza dei VLP ha avuto valori compresi tra bassi e medio-bassi.

Nell'ultima settimana l'ampiezza degli explosion-quakes ha avuto generalmente valori bassi, con qualche evento di ampiezza medio-bassa.

La localizzazione degli eventi VLP non evidenzia particolari variazioni e mostra la presenza di una sorgente stabile nell'intervallo 400-500 metri s.l.m. Gli ipocentri risultano ben clusterizzati.

La polarizzazione degli eventi VLP conferma la stabilità della sorgente.

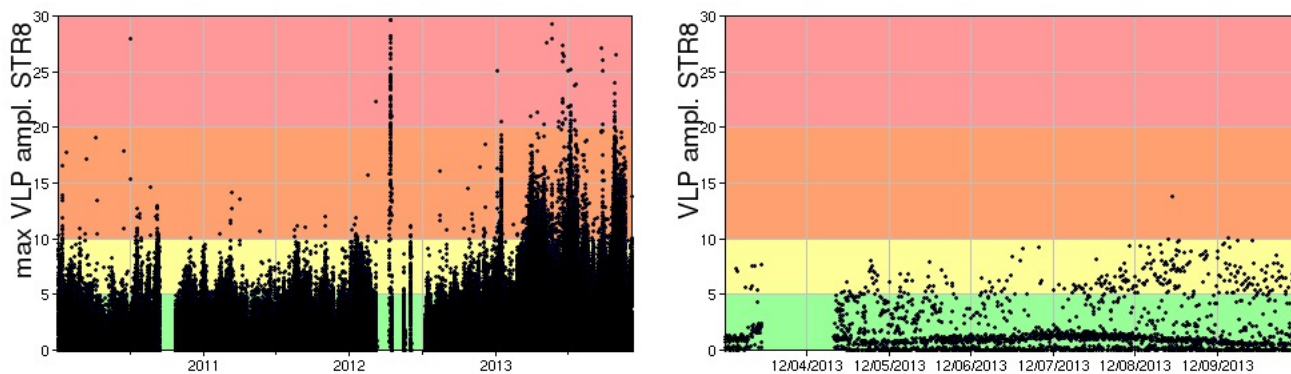


Fig. 4.4 Ampiezza dei VLP alla stazione STR8 dal 1/1/2010 (sinistra) e nell' ultima settimana (destra).

Sintesi

In questo periodo è stata osservata una normale attività esplosiva di tipo stromboliano interrotta dalla sequenza esplosiva di forte intensità del 4 dicembre prodotta dalle bocche dell'area craterica Sud. La frequenza delle esplosioni si è mantenuta su valori medio-bassi (7-10 eventi/h). L'intensità delle esplosioni è stata medio-bassa dall'area craterica Nord e bassa dall'area craterica Sud.

I parametri geochimici monitorati in funzione non mostrano variazioni di rilievo.

I parametri acquisiti dai sistemi di monitoraggio delle deformazioni del suolo in funzione non evidenziano variazioni significative nel corso dell'ultima settimana.

I parametri sismologici monitorati non mostrano variazioni significative, ad eccezione dell'evento esplosivo maggiore di ampiezza medio-alta registrato il giorno 04/12.

DISCLAIMER

L'INGV, in ottemperanza a quanto disposto dall'Art.2 del D.L. 381/1999, svolge funzioni di sorveglianza sismica e vulcanica del territorio nazionale, provvedendo alla organizzazione della rete sismica nazionale integrata e al coordinamento delle reti sismiche regionali e locali in regime di convenzione con il Dipartimento della Protezione Civile.

L'INGV concorre, nei limiti delle proprie competenze inerenti la valutazione della Pericolosità sismica e vulcanica nel territorio nazionale e secondo le modalità concordate dall'Accordo di programma decennale stipulato tra lo stesso INGV e il DPC in data 2 febbraio 2012 (Prot. INGV 2052 del 27/2/2012), alle attività previste nell'ambito del Sistema Nazionale di Protezione Civile.

In particolare, questo documento, redatto in conformità all'Allegato A del suddetto Accordo Quadro, ha la finalità di informare il Dipartimento della Protezione Civile circa le osservazioni e i

dati acquisiti dalle Reti di monitoraggio gestite dall'INGV su fenomeni naturali di interesse per lo stesso Dipartimento.

L'INGV fornisce informazioni scientifiche utilizzando le migliori conoscenze scientifiche disponibili; tuttavia, in conseguenza della complessità dei fenomeni naturali in oggetto, nulla può essere imputato all'INGV circa l'eventuale incompletezza ed incertezza dei dati riportati e circa accadimenti futuri che differiscano da eventuali affermazioni a carattere previsionale presenti in questo documento. Tali affermazioni, infatti, sono per loro natura affette da intrinseca incertezza.

L'INGV non è responsabile dell'utilizzo, anche parziale, dei contenuti di questo documento da parte di terzi, e/o delle decisioni assunte dal Dipartimento della Protezione Civile, dagli organi di consulenza dello stesso Dipartimento, da altri Centri di Competenza, dai membri del Sistema Nazionale di Protezione Civile o da altre autorità preposte alla tutela del territorio e della popolazione, sulla base delle informazioni contenute in questo documento. L'INGV non è altresì responsabile di eventuali danni recati a terzi derivanti dalle stesse decisioni.

La proprietà dei dati contenuti in questo documento è dell'INGV. La diffusione anche parziale dei contenuti è consentita solo per fini di protezione civile ed in conformità a quanto specificatamente previsto dall'Accordo Quadro sopra citato tra INGV e Dipartimento della Protezione Civile.